

پاسخ غیرخطی و تحلیل کمانش دینامیکی پانل استوانه‌ای ساندویچی با هسته انعطاف‌پذیر تحت بارگذاری انفجار

سیدعلی احمدی، محمدهادی پاشایی* و رمضان‌علی جعفری تلوکلائی
دانشکده مهندسی مکانیک، دانشگاه صنعتی نوشیروانی بابل، بابل

(دریافت مقاله: ۱۳۹۷/۱۰/۱۲ - دریافت نسخه نهایی: ۱۳۹۸/۵/۷)

چکیده- در این مقاله پاسخ غیرخطی تغییرمکان یک پانل استوانه‌ای ساندویچی تحت بارگذاری دینامیکی ضربانی با درنظر گرفتن قابلیت تغییرشکل هسته مورد مطالعه قرار گرفته است. با استفاده از تئوری مرتبه بالای ارائه شده برای هسته پانل‌های ساندویچی، معادلات حاکم بر حرکت بر مبنای نظریه ارتتجاعی سه‌بعدی به کار گرفته شده است. همچنین رفتار کمانش دینامیکی ضربانی صفحات جانبی پانل با استفاده از معیار بادیانسکی-راس، بررسی شده است. برای لایه‌های داخلی و خارجی پانل مواد اورتوتروپیک و برای لایه میانی مواد همسانگرد ویسکوالاستیک از جنس فوم پلی‌وینیل کلراید در نظر گرفته شد. تأثیر پارامترهای مختلف مانند ابعاد پانل، ضخامت هسته و لایه‌های جانبی، مدت ضربان و پیشینه فشار وارد شده روی پاسخ دینامیکی غیرخطی و مقاومت کمانشی پانل ساندویچی مورد مطالعه قرار گرفت. نتایج بدست آمده در این مقاله با نتایج ارائه شده در مقالات دیگر و همچنین نتایج بدست آمده از حل المان محدود در نرم‌افزار Ansys برای پانل‌های سه لایه مقایسه شده و دقت خوبی مشاهده شده است. نشان داده شده است که با افزایش ضخامت پانل یا کاهش شعاع آن، مقاومت کمانش دینامیکی ضربانی افزایش می‌یابد.

واژه‌های کلیدی: کمانش دینامیکی، پانل ساندویچی استوانه‌ای، هسته انعطاف‌پذیر، انفجار، پاسخ غیرخطی.

Non-linear Response and Dynamic Buckling Analysis of a Cylindrical Sandwich Panel with a Flexible Core under Blast Loading

S. A. Ahmadi, M. H. Pashaei*, and R. A. Jafari-Talookolaei

Department of Mechanical Engineering, Babol Noshirvani University of Technology, Babol, Iran.

Abstract: In this paper, three-dimensional displacement response of a cylindrical sandwich panel with compressible core under the action of dynamic pulse loading is addressed using the extended high order sandwich panel theory. Also, local dynamic pulse buckling of facesheets is studied by considering the Budiansky-Roth buckling criterion. It is assumed that the sandwich panels consist of orthotropic face sheets and an isotropic viscoelastic foam core layer. The effects of various parameters including the panel span, core and facing thickness, pulse duration and maximum pressure on the non-linear dynamic response and buckling strength of the sandwich cylindrical panel are studied. The results obtained from the present method are compared with finite element solutions using the commercial software ANSYS and those reported in the literature, showing a good agreement. It is revealed that applied core non-linear theory could be satisfactory for the dynamic pulse response of sandwich

*: مسئول مکاتبات، پست الکترونیکی: mpashaei@nit.ac.ir

viscoelastic panels. It is also shown that the pulse buckling strength of panel increases with a decrease of the panel radius or an increase of the panel thickness.

Keywords: Dynamic buckling, Cylindrical sandwich panel, Compressible core, Blast, Nonlinear response.

فهرست علامت

زمان اعمال بار دینامیکی	t_d	ثابت زمانی تغییر مکان در راستای محیطی	$A(t)$
مؤلفه محوری تغییر مکان	u	شعاع میانی پانل	a_c
مؤلفه محوری تغییر مکان در سطح میانی هر لایه	u_0	ثابت زمانی تغییر مکان در راستای شعاعی	$B(t)$
مؤلفه محیطی تغییر مکان	v	ثابت زمانی تغییر مکان در راستای محوری	$C(t)$
مؤلفه محیطی تغییر مکان در سطح میانی هر لایه	v_0	ثابت‌های ماتریس سختی پانل برای لایه‌های مختلف	C_{ij}
مؤلفه شعاعی تغییر مکان	w	مدول الاستیسیته	E_{ij}
مؤلفه شعاعی تغییر مکان در سطح میانی هر لایه	w_0	ضخامت لایه جانبی پایینی	h_b
مختصات محوری پانل	x	ضخامت لایه جانبی بالایی	h_t
مختصات شعاعی پانل	z	ضخامت هسته	h_c
زاویه پانل	β	ضخامت کل پانل	H
کرنش در لایه‌ها	ϵ_{ij}	طول پانل	L
ضریب ویسکوالاستیک	η	تعداد مود تغییرشکل در راستای محیطی	m
مختصات محیطی پانل	θ	تعداد مود تغییرشکل در راستای طولی	n
ضریب پواسون	ν_{ij}	بارگذاری ضربانی	$P(t)$
تنش در لایه‌ها	σ_{ij}	بیشینه فشار ضربانی	P_0
		زمان	t

تحقیقات انجام شده در زمینه مواد مورد استفاده در صنایع دریابی نظامی نشان می‌دهد فوم‌های پلی‌وینیل کلراید (PVC) که به عنوان هسته در سازه‌های ساندویچی به‌طور فراوان مورد استفاده قرار می‌گیرند به‌دلیل ساختار سلولی خاص، در شرایط قبل و بعد از خرابی از خود رفتار ویسکوالاستیک نشان می‌دهند [۱].

مطالعات گستردۀای در حوزه تحلیل رفتار دینامیکی سازه‌های ساندویچی در معرض بارگذاری انفجار انجام شده است که بررسی آنها نشان می‌دهد ورق‌های ساندویچی بیشتر از سازه‌های دیگر مورد توجه قرار گرفته‌اند. کشاو و پاتل [۲] یک حل المان محدود برای تحلیل کمانش دینامیکی

۱- مقدمه

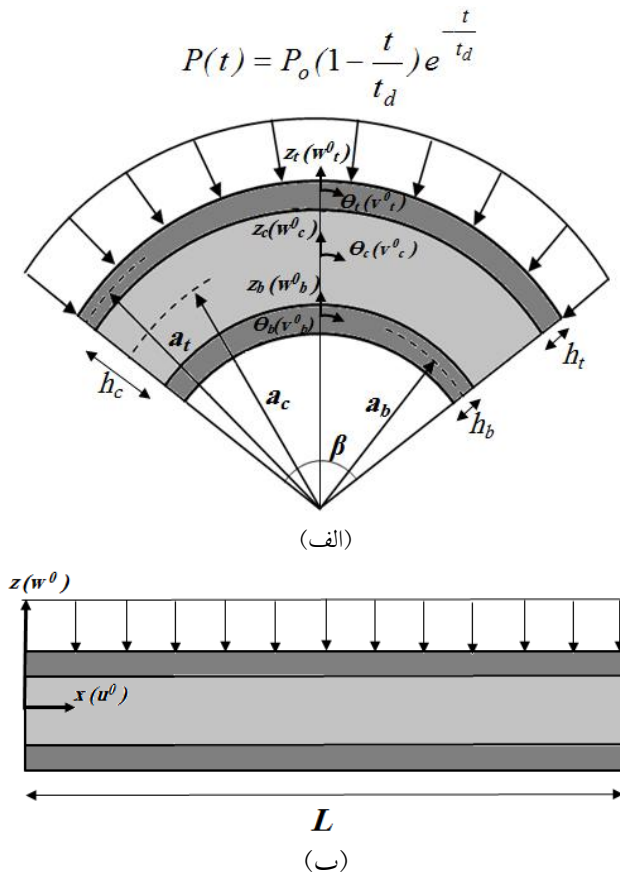
ساختارهای ساندویچی به‌دلیل ویژگی‌هایی از جمله نسبت سختی و مقاومت به وزن بالا در صنایع مختلف مورد استفاده ساختی می‌گیرند. در کنار این موارد، ویژگی‌هایی مانند مقاومت به خوردگی بهتر، خواص راداری و مغناطیسی عالی و غیره موجب شد این ساختارها به‌طور گستردۀای در صنایع دریابی و به‌ویژه شناورهای نظامی مورد توجه قرار داده شوند. با درنظر گرفتن این چنین کاربردهایی احتمال قرارگیری در معرض شوک‌های انفجار در هوا و یا زیر آب برای سازه‌های ساندویچی وجود دارد. بنابراین تحلیل پاسخ آن به بارگذاری وارد شده بهمنظور تحلیل ایمنی و بهینه‌سازی‌های مورد نظر ضروری خواهد بود.

استفاده از تئوری غیرخطی نووزیلوف و معادلات حرکت لاگرانژ و به کارگیری معیار بادیانسکی-راس به دست آمد. بیرمن و اسمیتسز [۱۲] از تئوری پوسته‌های ساندرز استفاده کردند تا پایداری دینامیکی پوسته‌های استوانه‌ای بلند ساندویچی را تحت بارگذاری فشار دوره‌ای هیدرودینامیکی بررسی کنند.

مطالعه منابع مختلف نشان می‌دهد در زمینه تحلیل رفتار دینامیکی پانل‌های ساندویچی استوانه‌ای تشکیل شده از هسته با خواص ویسکوالاستیک تحت بارگذاری انفجار کارهای اندکی صورت گرفته است. بالکان و همکاران [۱۳] پاسخ گذراي ورق‌های ساندویچی با تکیه‌گاه ساده تحت بار انفجار را مورد بررسی قرار دادند. در پژوهش ذکر شده از مدل ساختاری خطی کلوبن-وویت برای مدل‌سازی رفتار ویسکوالاستیک هسته ساندویچی با هسته ویسکوالاستیک توسط مختاری و همکاران [۱۴] مورد توجه قرار گرفت. از روش لاگرانژ و رایلی-ریتز جهت حل معادلات دیفرانسیل حرکت در این مطالعه استفاده شد. محمدی و صداقتی [۱۵] با استفاده از روش نیمه‌تحلیلی به مطالعه ارتعاشات خطی و غیرخطی پوسته‌های استوانه‌ای ساندویچی با هسته ویسکوالاستیک پرداختند.

در بیشتر تحلیل‌های موجود صورت گرفته روی پانل‌های ساندویچی از تئوری‌های کلاسیک و یا برشی مرتبه اول استفاده می‌شود که به دلیل در نظر نگرفتن قابلیت تغییرشکل در هسته، موجب ایجاد خطاهایی در پیش‌بینی تغییرشکل، مودهای خرابی و همچنین ظرفیت جذب انرژی این سازه‌ها شده است. شبیه‌سازی‌های عددی انجام شده توسط لیانگ و همکاران [۱۶] و نتایج آزمایشگاهی [۱۷] نشان می‌دهد که هنگامی که پانل ساندویچی در معرض بارگذاری انفجار قرار می‌گیرد، هسته دستخوش تغییرات قابل توجهی می‌شود. کاردامیتس و همکاران [۱۸] با استفاده از نظریه ارتقایی سه‌بعدی خطی، پاسخ انفجاری ورق ساندویچی را بررسی کردند. مقایسه نتایج آنها نشان داد تئوری تغییرشکل برشی مرتبه اول نمی‌تواند به

پوسته‌های منحنی کامپوزیتی در معرض بارهای داخل صفحه‌ای ارائه دادند. در این مطالعه از معیار ولمیر به منظور پیش‌بینی ناپایداری دینامیکی سازه استفاده شده است. تحلیل غیرخطی کمانش دینامیکی حرارتی در شرایط متقارن محوری روی پوسته‌های بیضوی و مخروطی تقویت شده با نانولوله‌های کربنی توسط سانکار و همکاران انجام شد [۳]. نگوین و همکاران [۴] به تحلیل عددی رفتار دینامیکی و کمانش ورق‌های ساندویچی با لایه‌های جانبی چندتکه تحت بارگذاری انفجار پرداختند. اثر اینها روی پاسخ پوسته‌های ساندویچی در معرض فشار انفجار توسط شن و همکاران [۵] به صورت آزمایشگاهی مورد توجه قرار گرفت و نشان داده شد سه تفاوت عمده بین پاسخ ورق و پوسته استوانه‌ای ساندویچی تحت بارگذاری انفجار وجود دارد که عبارتند از: ۱) کاهش ضربه بر روی لایه بیرونی، ۲) چروکیدگی لایه درونی به عنوان یک مدل جدید خرابی و ۳) الگوی موجود تفاوت پانل استوانه‌ای ساندویچی نسبت به دو الگوی موجود در ورق ساندویچی. هو فت و پالا [۶] یک مدل تحلیلی به منظور تحلیل رفتار دینامیکی و شروع خرابی پانل‌های استوانه‌ای ساندویچی دایره‌ای با هسته‌ای از جنس پلی وینی‌کلراید تحت بارگذاری انفجار ارائه کردند. آنها همچنین مدل‌های تحلیلی به منظور پیش‌بینی پاسخ تغییرمکان پانل‌های تخت، یک اینجا و دو اینجا ارائه دادند [۷-۹]. یک حل عددی برای کمانش موضعی ضربانی پانل‌های ساندویچی کامپوزیتی تک‌انحنا با استفاده از معادلات حرکت لاگرانژ توسط ژائو و هو [۱۰] ارائه شد. در این مطالعه از معیار بادیانسکی-راس بهره گرفته شد تا بتوان حالت ناپایداری پانل ساندویچی را پیش‌بینی کرد. برای پانل‌های با ضخامت بیشتر، احتمال رخداد کمانش دینامیکی کاهش پیدا می‌کند و پانل در معرض شکست لایه‌ها جانبی قرار خواهد گرفت. در مطالعه دیگری که توسط سیریولو و هو [۱۱] ارائه شد، کمانش دینامیکی ضربانی و رفتار ارتعاشی یک پانل کامپوزیتی دوان‌نها تحت بارگذاری انفجار بررسی شد. در این تحقیق معادلات حاکم با



شکل ۱- مشخصات هندسی و مختصات پانل ساندویچی، (الف) نمای دو بعدی در صفحه (z, θ) و
ب) نمای دو بعدی در صفحه (x, z)

کمانش دینامیکی صفحات جانبی روی آن انجام شد. یک تئوری پوسته ساندویچی مرتبه بالا جهت مدل سازی تغییر شکل هسته در طول فرایند بارگذاری در نظر گرفته شده است. لایه های داخلی و خارجی پانل از مواد اورتوتروپیک و لایه میانی آن از فوم های پلی وینیل کلراید تشکیل شده است. معادلات دیفرانسیل سه بعدی حاکم بر مسئله با در نظر گرفتن رفتار غیر خطی لایه ها به دست آمده و با استفاده از روش عددی رانگ- کوتا حل شده اند.

۲- معادلات حاکم بر مسئله

در شکل (۱) یک پوسته استوانه ای ساندویچی به شعاع میانی a_0 ، طول L و ضخامت لایه های جانبی h_t و h_b و لایه میانی h_c

درستی رفتار پوسته ساندویچی را نشان دهد. لی و کاردومیتس [۱۹] یک تئوری مرتبه بالای جدید برای ورق های ساندویچی در حالت الاستیک ارائه کردند که قابلیت فشرده سازی هسته را در نظر می گیرد. نظریه ارائه شده با نتایج بدست آمده از نظریه ارجاعی، مطابقت بسیار خوبی داشت. لی و همکاران [۲۰] پاسخ غیر خطی یک پوسته دو اندیشه را با استفاده از تئوری مرتبه بالای ارائه شده توسط لی و کاردومیتس تحت بارگذاری انفجاری مطالعه کردند.

در این مقاله رفتار دینامیکی غیر خطی پانل استوانه ای ساندویچی با هسته فوم تحت بارگذاری انفجار در هوا مورد مطالعه قرار گرفته است. با استفاده از معیار بادیانسکی - راس [۲۱]، رفتار دینامیکی پانل مورد بررسی قرار گرفت و تحلیل

برای لایه میانی به کار برد همچنین z مختص شعاعی هر لایه در صفحه میانی همان لایه است. در نظر گرفتن قابلیت فشرده سازی هسته در راستای شعاعی عاملی تأثیرگذار در محاسبات جذب انرژی پانل ساندویچی در بارگذاری انفجار محسوب می شود. به این منظور تئوری های تغییر شکل برشی مرتبه بالا و همچنین نظریه ارجاعی سه بعدی مورد استفاده قرار می گیرند. در این مقاله از تئوری مرتبه بالای برشی ارائه شده در مرجع [۱۹] برای هسته انعطاف پذیر، استفاده شده است که بر اساس آن رابطه (۴) برای جابه جایی های هسته به دست آمده است:

$$\begin{aligned} u^c(z, \theta, x, t) &= \frac{1}{\gamma} \left(u^t(\theta, x, t) + u^b(\theta, x, t) \right) + \\ &\quad \frac{z}{h_c} \left(u^t(\theta, x, t) - u^b(\theta, x, t) \right) + \\ &\quad \frac{zh_t}{h_c} \frac{\partial}{\partial x} w^c(z, \theta, x, t) \\ v^c(z, \theta, x, t) &= \frac{1}{\gamma} \left(v^t(\theta, x, t) + v^b(\theta, x, t) \right) + \\ &\quad \frac{z}{h_c} \left(v^t(\theta, x, t) - v^b(\theta, x, t) \right) \\ &\quad \frac{zh_t}{(z+a_c)h_c} \frac{\partial}{\partial \theta} w^c(z, \theta, x, t) + , \\ -\frac{h_c}{2} < z < \frac{h_c}{2} \\ w^c(z, \theta, x, t) &= \frac{1}{\gamma} \left(\frac{\gamma z}{h_c} + \frac{\gamma z}{h_c} \right) \left(w^t(\theta, x, t) + w^b(\theta, x, t) \right) + \\ &\quad \frac{1}{\gamma} \left(\frac{z}{h_c} + \frac{\gamma z}{h_c} \right) \left(w^t(\theta, x, t) - w^b(\theta, x, t) \right) + \\ &\quad \left(1 - \frac{\gamma z}{h_c} - \frac{\gamma z}{h_c} \right) w^c(\theta, x, t) \end{aligned} \quad (4)$$

مطابق با روابط ساختاری ارائه شده برای مواد اورتوتروپیک می توان نوشت:

$$\begin{bmatrix} \sigma_{11} \\ \sigma_{22} \\ \sigma_{33} \\ \tau_{23} \\ \tau_{31} \\ \tau_{12} \end{bmatrix}^{b,t,c} = \begin{bmatrix} C_{11} & C_{12} & C_{13} & \ddots & \ddots & \ddots \\ C_{11} & C_{22} & C_{23} & \ddots & \ddots & \ddots \\ C_{12} & C_{22} & C_{33} & \ddots & \ddots & \ddots \\ \vdots & \vdots & \vdots & \ddots & C_{44} & \ddots \\ \vdots & \vdots & \vdots & \ddots & \ddots & C_{55} \\ \vdots & \vdots & \vdots & \ddots & \ddots & C_{66} \end{bmatrix}^{b,t,c} \begin{bmatrix} \varepsilon_{11} \\ \varepsilon_{22} \\ \varepsilon_{33} \\ \varepsilon_{23} \\ \varepsilon_{31} \\ \varepsilon_{12} \end{bmatrix}^{b,t,c} \quad (5)$$

در این رابطه اندیس های ۱، ۲ و ۳ به ترتیب برای راستاهای شعاعی، محیطی و محوری استفاده شده است و C_{ij} ثوابت

(ضخامت کل $H=h_t+h_b$) تحت اثر بار انفجاری روی سطح بیرونی پانل نشان داده شده است. فرض شده لایه های بیرونی و درونی پانل از جنس مواد اورتوتروپیک بوده و لایه میانی آن از فوم تشکیل شود. بارگذاری فشار یکنواخت خارجی ناشی از یک انفجار به صورت رابطه (۱) تعریف می شود:

$$P(t) = \begin{cases} P_0 \left(1 - \frac{t}{t_d} \right) e^{-\frac{t}{t_d}} & , \quad t < t_d \\ 0 & , \quad t > t_d \end{cases} \quad (1)$$

که در آن P بیان کننده بیشینه فشار اعمال شده و t_d برابر با زمان اعمال فشار ضربانی است. مطابق با آنچه در شکل (۱) نشان داده شده است مؤلفه های تغییر مکان w و v برای سه راستای محوری (x) ، محیطی (θ) و شعاعی (z) پانل برای هر کدام از لایه ها در نظر گرفته می شود. با در نظر گرفتن این مورد که لایه های بالایی و پایینی فرضیات کیرشef- لاو را ارضاء نکند، مؤلفه های جابه جایی برای این لایه ها بر حسب جابه جایی های صفحه میانی آنها بر اساس تئوری دائل [۲۲] به صورت زیر بیان می شوند.

لایه بالایی:

$$\begin{aligned} u_t(z, \theta, x, t) &= u^t(\theta, x, t) - \left(z - \frac{h_c + h_t}{2} \right) \left(\frac{\partial}{\partial x} w^t(\theta, x, t) \right) \\ v_t(z, \theta, x, t) &= v^t(\theta, x, t) - \frac{1}{a_t} \left(z - \frac{h_c + h_t}{2} \right) \left(\frac{\partial}{\partial \theta} w^t(\theta, x, t) - v^t(\theta, x, t) \right) \\ -\frac{h_c}{2} < z < \frac{h_c}{2} + h_t \\ w_t(z, \theta, x, t) &= w^t(\theta, x, t) \end{aligned} \quad (2)$$

لایه پایینی:

$$\begin{aligned} u_b(z, \theta, x, t) &= u^b(\theta, x, t) - \left(z + \frac{h_c + h_b}{2} \right) \left(\frac{\partial}{\partial x} w^b(\theta, x, t) \right) \\ v_b(z, \theta, x, t) &= v^b(\theta, x, t) - \frac{1}{a_b} \left(z + \frac{h_c + h_b}{2} \right) \left(\frac{\partial}{\partial \theta} w^b(\theta, x, t) - v^b(\theta, x, t) \right) \\ -\frac{h_c}{2} - h_b < z < -\frac{h_c}{2} \\ w_b(z, \theta, x, t) &= w^b(\theta, x, t) \end{aligned} \quad (3)$$

که در آن اندیس t و b به ترتیب برای لایه بالایی و پایینی و $i=c$

جانبی چنین بیان شده است [۲۲]:

$$\begin{aligned}\varepsilon_{zz} &= \frac{\partial w}{\partial z} \\ \varepsilon_{0x} &= \frac{1}{z+a_i} \left(\frac{\partial u}{\partial \theta} + \frac{\partial v}{\partial x} \right) + \frac{1}{(z+a_i)} \left(\frac{\partial w}{\partial x} \right) \left(\frac{\partial w}{\partial \theta} \right) \\ \varepsilon_{xx} &= \frac{\partial u}{\partial x} + \frac{1}{z} \left(\frac{\partial w}{\partial x} \right)^2 \\ \varepsilon_{z\theta} &= \frac{1}{z+a_i} \left(\frac{\partial w}{\partial \theta} + \frac{\partial v}{\partial z} - \frac{v}{z+a_i} \right) \\ \varepsilon_{\theta\theta} &= \frac{1}{z+a_i} \frac{\partial v}{\partial \theta} + \frac{w}{z+a_i} + \frac{1}{(z+a_i)} \left(\frac{\partial w}{\partial \theta} \right)^2 \\ \varepsilon_{zx} &= \frac{1}{z} \left(\frac{\partial w}{\partial x} + \frac{\partial u}{\partial z} \right)\end{aligned}\quad (8)$$

در رابطه (۸)، a_i شعاع میانی هر کدام از لایه‌ها است. از معادلات حرکت حاکم براساس روابط سه بعدی نظریه ارتقایی در این مطالعه استفاده شده است [۱۸]:

$$\begin{aligned}\frac{\partial \sigma_{zx}}{\partial x} + \frac{1}{z+a_i} \frac{\partial \sigma_{z\theta}}{\partial \theta} + \frac{\partial \sigma_{zz}}{\partial z} + \frac{\sigma_{zz} - \sigma_{\theta\theta}}{z+a_i} &= \rho \frac{\partial^2 w}{\partial t^2} \\ \frac{\partial \sigma_{0x}}{\partial x} + \frac{1}{z+a_i} \frac{\partial \sigma_{\theta\theta}}{\partial \theta} + \frac{\partial \sigma_{z\theta}}{\partial z} + \frac{2\sigma_{z\theta}}{z+a_i} &= \rho \frac{\partial^2 v}{\partial t^2} \\ \frac{\partial \sigma_{xx}}{\partial x} + \frac{1}{z+a_i} \frac{\partial \sigma_{x\theta}}{\partial \theta} + \frac{\partial \sigma_{zx}}{\partial z} + \frac{\sigma_{zx}}{z+a_i} &= \rho \frac{\partial^2 u}{\partial t^2}\end{aligned}\quad (9)$$

۳- روش حل مسئله

همان طور که قبلاً اشاره شد، شرایط مرزی ساده در چهار لبه پانل در نظر گرفته شده است. بر اساس آن می‌توان مؤلفه‌های جابه‌جایی در سه راستا را برای هر کدام از لایه‌ها به صورت سری زیر بازنویسی کرد:

$$\begin{aligned}u^t(\theta, x, t) &= \sum_{n=0}^{\infty} \sum_{m=0}^{\infty} B_{mn}^t(t) \sin \frac{n\pi x}{L} \cos \frac{m\pi\theta}{\beta} \\ v^t(\theta, x, t) &= \sum_{n=0}^{\infty} \sum_{m=0}^{\infty} A_{mn}^t(t) \cos \frac{n\pi x}{L} \sin \frac{m\pi\theta}{\beta} \\ w^t(\theta, x, t) &= \sum_{n=0}^{\infty} \sum_{m=0}^{\infty} C_{mn}^t(t) \sin \frac{n\pi x}{L} \sin \frac{m\pi\theta}{\beta} \\ w^c(\theta, x, t) &= \sum_{n=0}^{\infty} \sum_{m=0}^{\infty} B_{mn}^c(t) \sin \frac{n\pi x}{L} \sin \frac{m\pi\theta}{\beta} \\ u^b(\theta, x, t) &= \sum_{n=0}^{\infty} \sum_{m=0}^{\infty} B_{mn}^b(t) \sin \frac{n\pi x}{L} \cos \frac{m\pi\theta}{\beta} \\ v^b(\theta, x, t) &= \sum_{n=0}^{\infty} \sum_{m=0}^{\infty} A_{mn}^b(t) \cos \frac{n\pi x}{L} \sin \frac{m\pi\theta}{\beta} \\ w^b(\theta, x, t) &= \sum_{n=0}^{\infty} \sum_{m=0}^{\infty} C_{mn}^b(t) \sin \frac{n\pi x}{L} \sin \frac{m\pi\theta}{\beta}\end{aligned}\quad (10)$$

ماتریس سختی برای هر لایه است که با استفاده از این روابط محاسبه می‌شوند:

$$\begin{aligned}C_{11} &= \frac{1 - v_{23}v_{32}}{E_{22}E_{33}\Delta}, \quad C_{12} = \frac{v_{21} + v_{32}v_{13}}{E_{22}E_{33}\Delta} \\ C_{22} &= \frac{1 - v_{13}v_{21}}{E_{11}E_{33}\Delta}, \quad C_{13} = \frac{v_{31} + v_{21}v_{32}}{E_{11}E_{33}\Delta} \\ C_{33} &= \frac{1 - v_{12}v_{21}}{E_{22}E_{11}\Delta}, \quad C_{23} = \frac{v_{22} + v_{12}v_{31}}{E_{22}E_{11}\Delta} \\ C_{44} &= G_{22}, \quad C_{55} = G_{31}, \quad C_{66} = G_{12} \\ \Delta &= \frac{1 - v_{12}v_{21} - v_{23}v_{32} - v_{13}v_{21} - 2.v_{21}v_{32}v_{13}}{E_{11}E_{22}E_{33}}\end{aligned}\quad (6)$$

بر اساس مطالعات تحلیلی و آزمایشگاهی انجام شده در مرجع [۱]، فوم‌ها پلی‌وینی‌کلراید که به عنوان هسته در سازه‌های ساندویچی در صنایع دریایی کاربرد فراوانی دارند، در فرایند تغییرشکل از خود رفتار ویسکوالاستیک نشان می‌دهند. بر اساس این مطالعه این فوم‌ها در محدوده تغییرشکل‌های کوچک و قبل از رسیدن به تسلیم، دارای رفتار ویسکوالاستیک خطی هستند. بعد از رسیدن به تسلیم رفتار پلاستیک کامل از آنها دیده می‌شود. در این مقاله به منظور مطالعه تأثیر خاصیت ویسکوالاستیک روی پاسخ غیرخطی تغییر مکان و رفتار کمانش دینامیکی یک پانل ساندویچی، یک مدل ساده ویسکوالاستیک خطی مورد توجه قرار داده شده است. برای مدل‌سازی خواص مکانیکی هسته از مدل خطی کلووین-ووت [۲۳] استفاده می‌شود. بر این اساس تنش‌های برشی با کرنش‌های برشی و نرخ تغییرات آن مطابق با رابطه

(7) مرتبط می‌شود:

$$\{\sigma\} = [C]\{\varepsilon\} + \eta \cdot \frac{d}{dt} \cdot \{\varepsilon\} \quad (7)$$

که در آن η ضریب ویسکوالاستیک ماده هسته است. روابط غیرخطی کرنش-جابه‌جایی برای لایه‌ها بر اساس مؤلفه‌های غیرخطی ون-کارمن بیان می‌شوند. فرض شده است صفحات کیرشهف-لاو تغییر مکان‌ها در راستای طولی u و محیطی v کوچک بوده و می‌توان از مشتقهای مرتبه بالای w در معادلات صرف نظر کرد. بنابراین تنها مشتقهای مرتبه بالای w در معادلات باقی می‌مانند. فرم معادلات کرنش-جابه‌جایی برای صفحات

احتمال وجود دارد که شکل مودهای بالاتر سازه برانگیخته شود. از این‌رو با مطالعه همگرایی روی نتایج به‌دست آمده، برای تحلیل کمانش دینامیکی ضربانی پنج جمله از سری یعنی $m=n=4$ استفاده شده است. بر این اساس، معادلات دیفرانسیل معمولی بر حسب متغیرهای زمانی به صورت زیر نوشته می‌شود.

$$[M_{mn}] \ddot{x}_{mn}(t) + [C_{mn}] \dot{x}_{mn}(t) + [K_{mn}] x_{mn}(t) = P_{mn}(t) \quad (12)$$

که در آن $[M_{mn}]$ ماتریس جرمی معادل، $[C_{mn}]$ ماتریس ضرایب میرایی و $[K_{mn}]$ ماتریس سختی است. این دستگاه معادلات با استفاده از بسته حلگر رانگ-کوتا حل می‌شود.

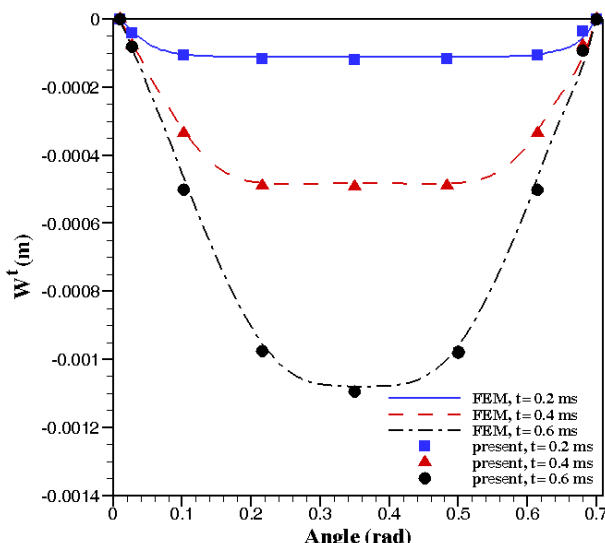
۴- نتایج و بحث

در مقاله ارائه شده پاسخ یک پوسته ساندویچی استوانه‌ای با هسته ویسکوالاستیک تحت تأثیر بار انفجاری مورد مطالعه قرار گرفته است. از عبارت‌های غیرخطی کرنش- جابه‌جایی به‌منظور شبیه‌سازی رفتار هسته استفاده شده است. همچنین به‌منظور در نظر گرفتن قابلیت فشرده‌سازی هسته در طول فرایند بارگذاری، یک تئوری مرتبه بالا جهت مدل‌سازی رفتار جابه‌جایی هسته به‌کار گرفته شده است. از روش رانگ کوتای مرتبه چهارم در نرم‌افزار Maple جهت حل معادلات استفاده شد. به‌منظور اعتبارسنجی نتایج، تغییرمکان خط مرکزی پانل به‌دست آمده از حل غیرخطی ارائه شده در مقاله و حل المان محدود توسط نرم‌افزار Ansys در شکل (۲) آورده شده است. پانل مورد نظر دارای ضخامت صفحات جانبی $h_{t,b} = 5 \text{ mm}$ ، ضخامت هسته $a_c = 1 \text{ m}$ و طول $L = b(a_c \times \beta) = 0.7 \text{ m}$ است. خواص مواد به‌کار رفته برای لایه‌های این پانل و پانل‌های ساندویچی که در کل مقاله نتایج آنها ارائه می‌شود در جدول (۱) ارائه شده است. با توجه به همخوانی مناسب نتایج در شکل (۲) می‌توان چنین برداشت کرد که فرمول‌بندی ارائه شده و روش حل مورد نظر دارای دقیق خوبی در محاسبه نتایج تغییرشکل برای پانل‌های

با جایگذاری عبارات (۱۰) در روابط کرنش- جابه‌جایی و تنفس کرنش برای هر لایه و انتگرال‌گیری از معادلات حرکت (۹) در راستای ضخامت، درنهایت هفت معادله دیفرانسیل معمولی حاکم بر حرکت پوسته ساندویچی برای مؤلفه‌ها $(u^t, v^t, w^t, w^c, u^b, v^b, w^b)$ به‌دست خواهد آمد. ضرایب این معادلات در پیوست ارائه شده است.

$$\begin{aligned} & P_0(1 - \frac{t}{t_d}) e^{-\frac{t}{t_d}} - c_{11}^c \cdot L_{11} - c_{12}^c \cdot L_{12} + c_{13}^c \cdot L_{13} \\ & + c_{14}^t \cdot L_{14} + c_{15}^t \cdot L_{15} - c_{16}^t \cdot L_{16} - \rho_t \cdot L_{17} = 0 \\ & c_{16}^c \cdot L_{21} + \eta \cdot \frac{\partial L_{21}}{\partial t} + c_{17}^t \cdot L_{22} + c_{18}^t \cdot L_{23} + c_{19}^t \cdot L_{24} \\ & + c_{20}^t \cdot L_{25} - \rho_t \cdot L_{26} = 0 \\ & c_{21}^c \cdot L_{21} - \eta \cdot \frac{\partial L_{21}}{\partial t} + c_{22}^t \cdot L_{22} + c_{23}^t \cdot L_{23} \\ & + c_{24}^t \cdot L_{24} - \rho_t \cdot L_{25} = 0 \\ & c_{11}^c \cdot L_{41} + c_{12}^c \cdot L_{42} + c_{13}^c \cdot L_{43} + c_{14}^c \cdot L_{44} + c_{15}^c \cdot L_{45} \\ & + c_{16}^c \cdot L_{46} + c_{17}^c \cdot L_{47} \\ & + \eta \cdot \frac{\partial (L_{46} + L_{47})}{\partial t} + \rho_c \cdot L_{48} = 0 \\ & c_{21}^c \cdot L_{51} + \eta \cdot \frac{\partial L_{51}}{\partial t} + c_{22}^b \cdot L_{52} + c_{23}^b \cdot L_{53} + c_{24}^b \cdot L_{54} \\ & - \rho_b \cdot L_{55} = 0 \\ & c_{25}^c \cdot L_{61} + \eta \cdot \frac{\partial L_{61}}{\partial t} + c_{26}^b \cdot L_{62} + c_{27}^b \cdot L_{63} + c_{28}^b \cdot L_{64} \\ & + c_{29}^b \cdot L_{65} + \rho_b \cdot L_{66} = 0 \\ & c_{11}^c \cdot L_{71} + c_{12}^c \cdot L_{72} + c_{13}^c \cdot L_{73} + c_{14}^b \cdot L_{74} - \rho_b \cdot L_{75} \\ & - c_{21}^b \cdot L_{76} - c_{22}^b \cdot L_{77} = 0 \end{aligned} \quad (11)$$

برای حل معادلات دیفرانسیل در مسائل مختلف روش‌های تک‌گامی، چندگامی و روش‌های برونویابی قابل استفاده است. در این مقاله از روش رانگ- کوتای موجود در بسته نرم‌افزاری Maple برای حل دستگاه معادلات دیفرانسیل معمولی به‌دست آمده، استفاده می‌شود. دلیل استفاده از روش رانگ کوتا با خطای مرتبه چهارم در این مقاله این نکته است که به‌دلیل سرعت بالای زمان اعمال بارگذاری و همچنین بازه زمانی کوتاه اعمال بار و در نتیجه بازه کوتاه تحلیل مسئله این روش دارای دقت محاسباتی بیشتری است. پانل‌های مورد تحلیل در این مقاله جزو پانل‌های کم عمق هستند و زاویه دهانه کوچک‌تر از ۳۰ درجه دارند. بنابراین در رفتار پاسخ دینامیکی الاستیک تحت تحریب تک‌جمله استفاده شده است. در تحلیل کمانش دینامیکی تحت بارگذاری ضربانی مطابق با آنچه در [۲۴] آمده است، این



شکل ۲- مقایسه نتایج بدست آمده از تحلیل غیرخطی با نتایج حل المان محدود در نرم افزار Ansys

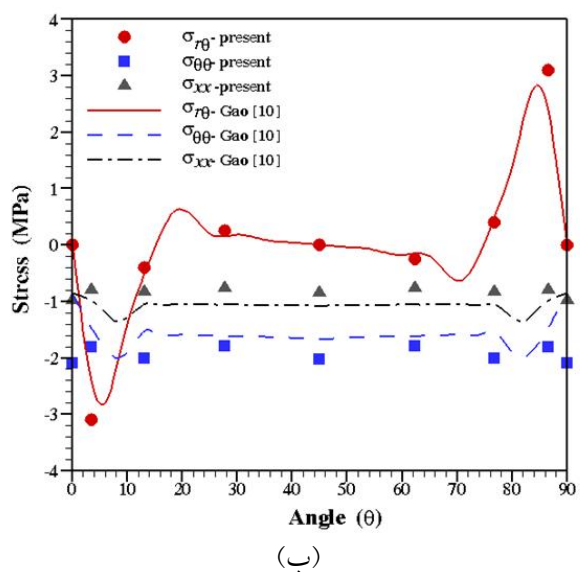
جدول ۱- ابعاد هندسی و خواص مواد به کار گرفته شده برای لایه‌های جانبی و هسته پانل ساندویچی

ρ kg/m ³	G_{12} (GPa)	G_{31} (GPa)	G_{23} (GPa)	v_{12}	v_{23}	v_{13}	E_{33} (GPa)	E_{22} (GPa)	E_{11} (GPa)	
۱۳۹۱	۱/۷۳	۱/۷۳	۴	۰/۱۲	۰/۱۲	۰/۲۸	۱۷	۱۷	۷/۴۸	شیشه / اپوکسی
۲۵۰	۰/۱۵	۰/۱۵	۰/۱۵	۰/۳۴	۰/۳۴	۰/۳۴	۰/۴۰۳	۰/۴۰۳	۰/۴۰۳	PVC فوم

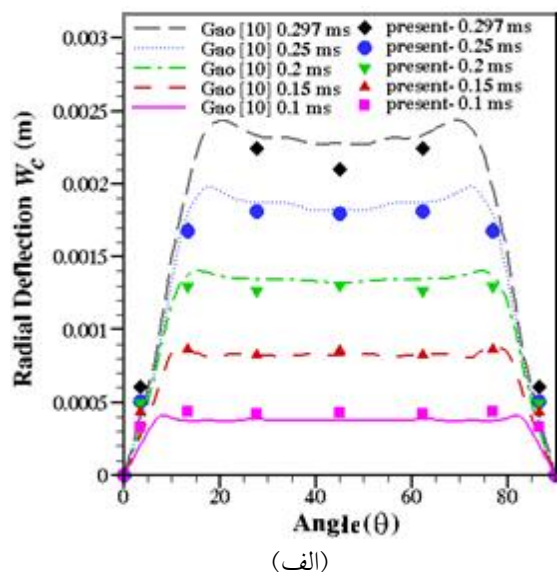
هسته و ۲۵۰۰۰ برای لایه‌های جانبی در نظر گرفته شده است. در راستای صحبت‌سنگی نتایج غیرخطی ارائه شده، تغییر مکان‌های راستای مرکزی یک پانل ساندویچی بلند به همراه تنش‌های ایجاد شده در هسته در زمان $t=۰/۲۹۵$ s تحت بارگذاری، مطابق با آنچه در $[۱۰]$ بدان اشاره شده است، در شکل (۳) مشاهده می‌شود. مقایسه تغییر مکان‌های به دست آمده در این شکل نشان از دقت بالای معادلات و روش ارائه شده در این مقاله دارد.

پس از بررسی صحبت روشن ارائه شده، در ادامه به منظور مطالعه قابلیت فشرده شدن هسته نتایج برای تغییر مکان‌های سطح میانی پوسته ساندویچی در بین زمان‌های صفر تا ۵ میلی ثانیه ارائه می‌شود. به این منظور ابعاد ثابتی از پانل به ضخامت صفحات جانبی $h_{t,b}=5$ mm، ضخامت هسته $h_c=40$ mm، شعاع صفحه میانی $L=b=(a_c \times \beta)=0/5$ m و عرض $a_c=1$ m

ساندویچی در معرض بارگذاری دینامیکی ضربانی است. همچنین نمایان است تقریب تک جمله استفاده شده برای تحلیل پاسخ دینامیکی نتایج قابل قبولی برای این دسته از پانل‌ها ارائه می‌دهد. از المان سه بعدی غیرخطی سالید^۱ که از خود رفتار تغییر مکان مرتبه دوم را نشان می‌دهد و برای مدل‌سازی رفتار الاستیک که تغییر شکل و کرنش‌های بزرگ مناسب است، در نرم افزار Ansys استفاده شده است. با توجه به در نظر گرفتن شرط مرزی تکیه‌گاه ساده در لبه‌های پانل، مؤلفه‌های تغییر مکان و مشتقهای مرتبه دوم آنها در چهار لبه صفر در نظر گرفته شده‌اند. در بسته نرم افزار Ansys، از روش حل ضمنی ترنزینت^۲ استفاده شده است که انتگرال زمانی در آن با استفاده از الگوریتم نیومارک تخمین زده می‌شود. با مطالعه همگرایی نتایج در نرم افزار Ansys، برای تحلیل‌های دینامیکی در شرایط مختلف و تعداد نقاط شبکه‌بندی متفاوت، تعداد المان‌های ۵۰۰۰۰ برای

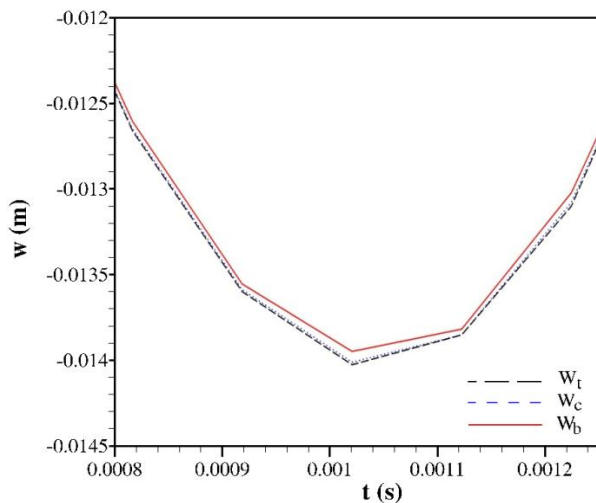


(ب)

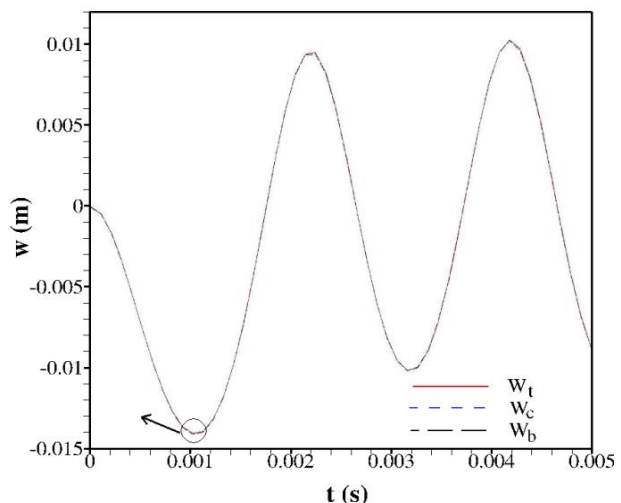


(الف)

شکل ۳- مقایسه نتایج بدست آمده از حل غیرخطی با نتایج مرجع [۱۰]، الف) جابه جایی مرکز پانل در راستای محیطی، ب) تنش های هسته در راستای محیطی



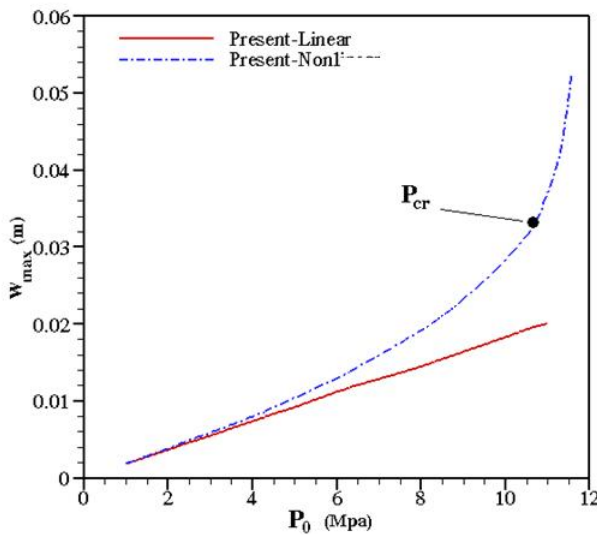
شکل ۴- تغییر مکان شعاعی مرکز لایه های پانل به دست آمده از حل معادلات در حالت غیرخطی



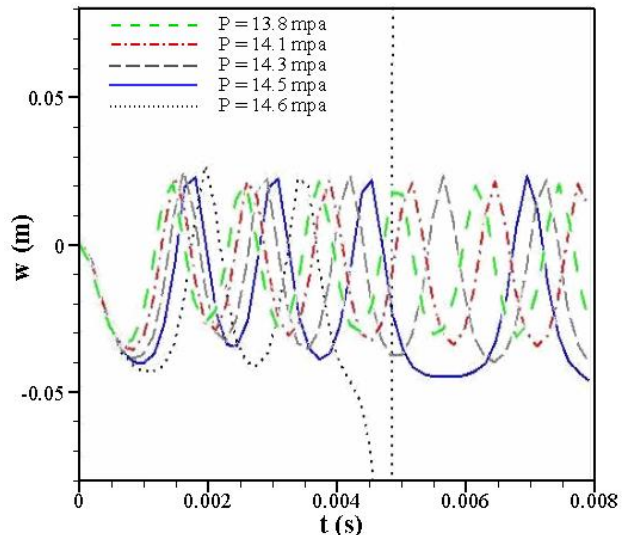
(۴) قابل مشاهده است. مطابق با آنچه در شکل های سمت چپ برای محدوده زمانی بسیار کوچک مشخص شده است، میزان تغییر مکان در لایه های مختلف پانل با یکدیگر متفاوت است و وابسته به میزان بارگذاری و ابعاد پانل می تواند مقادیر قابل توجهی به خود گیرند.

یکی از مزایای استفاده از روابط غیرخطی در حل معادلات پاسخ زمانی سازه، تحلیل رفتار تغییر شکل های بزرگ و

مد نظر قرار گرفته است. فشار جانبی ضربانی روی سطح بیرونی پانل اعمال می شود و در تمامی موارد پانل دارای شعاع داخلی $P_0 = 2 \text{ MPa}$ است. همچنین فشار بیشینه اعمالی به مقدار $R_1 = 1 \text{ m}$ و زمان ضربان $t_d = 2 \text{ میلی ثانیه}$ خواهد بود. خواص مواد لایه های جانبی و همین طور هسته در جدول (۱) داده شده است. تغییر مکان شعاعی وابسته به زمان مرکز لایه های پانل که با استفاده از حل معادلات غیرخطی به دست آمده اند، در شکل



شکل ۶- نمودار پایداری پانل ساندویچی

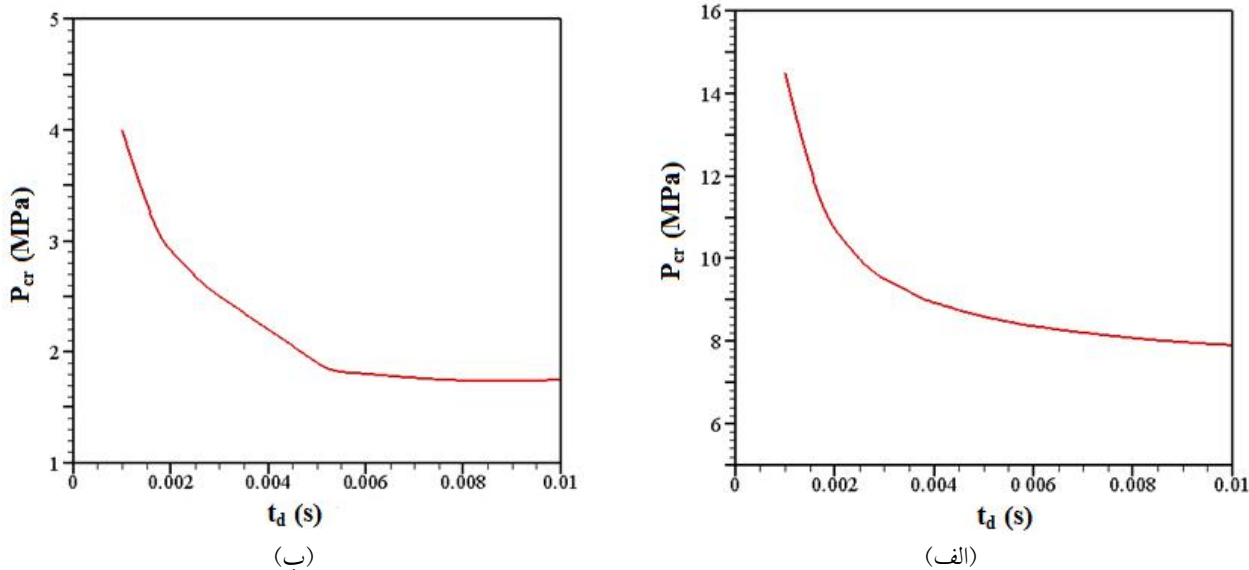


شکل ۵- پاسخ زمانی جابه‌جایی شعاعی مرکز پانل به ازای مقادیر مختلف دامنه فشار ضربانی

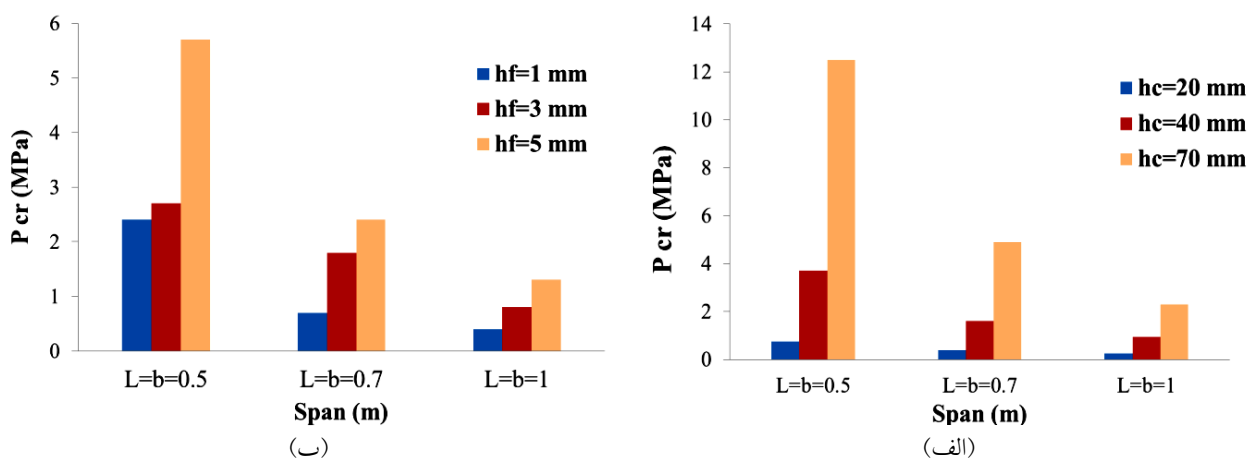
در ادامه نمودار پایداری برای پانل‌های ساندویچی با ضخامت‌های مشابه و دو طول و عرض 0.3×0.5 متر برای زمان‌های ضربان مختلف در شکل (۷) آورده شده‌اند. مشاهده می‌شود با افزایش زمان اعمال بار دینامیکی و در نتیجه حرکت به سمت بارگذاری‌های استاتیکی و شباهستاتیکی، فشار کمانشی دینامیکی کاهش یافته و به یک مقدار مجانبی میل می‌کند. از دیگر پارامترهای مهم در تعیین رفتار پانل‌های استوانه‌ای، ضخامت لایه‌های آن است. بدین منظور در شکل (۸) برای یک پانل ساندویچی استوانه‌ای با شعاع میانی یک متر که تحت بارگذاری با زمان ضربان 2 s میلی‌ثانیه قرار دارد، تحلیل کمانش دینامیکی برای ضخامت‌های مختلف لایه میانی و لایه‌های جانبی انجام شده است. با توجه به نتایج مشخص است برای پانل‌های ساندویچی ضخیم، فشار بحرانی کمانشی بسیار بزرگ است و بنابراین احتمال فروپاشی پانل به دلیل از دست دادن پایداری دینامیکی آن به ندرت اتفاق خواهد افتاد. در این پانل‌های ساندویچی با هسته نرم موادی همچون شکست لایه‌های جانبی و تسليیم و تغییرشکل پلاستیک هسته می‌توانند عامل خرابی اصلی تلقی شوند.

همان‌گونه که اشاره شد، فرم‌های PVC به عنوان یک ماده

ناپایداری آنها تحت بارگذاری‌های مختلف است. در این مقاله به منظور تخمین حالت ناپایداری پانل ساندویچی از معیار بادیانسکی-راس [۲۱] استفاده شده است. بر این اساس زمانی سازه به حالت ناپایداری خواهد رسید که به‌ازای یک تغییر کوچک در مقدار فشار دینامیکی ضربانی، تغییرات زیادی در تغییر مکان آن حاصل شود. در شکل (۵) نتایج برای یک پانل ساندویچی با ضخامت صفحات جانبی $h_{t,b} = 5\text{ mm}$ ، ضخامت هسته $h_c = 40\text{ mm}$ ، شعاع صفحه میانی $a_c = 1\text{ m}$ و طول و عرض $L=b=(a_c \times \beta) = 0.3\text{ m}$ تحت بارگذاری فشار دینامیکی ضربانی با زمان اعمال بار $t_d = 0.01\text{ s}$ نشان داده شده است. در شکل می‌توان دید به‌ازای یک تغییر کوچک در بیشینه فشار اعمالی از $14/5$ به $14/6$ مگاپاسکال، تغییر مکان لایه جانبی بسیار بزرگ می‌شود. منحنی تغییرات جابه‌جایی بیشینه لایه جانبی پانل به‌ازای مقادیر مختلف دامنه بارگذاری برای بار ضربانی با زمان اعمال بار $t_d = 0.02\text{ s}$ در شکل (۶) نشان داده شده است. شکل (۶) به روشنی نشان می‌دهد تحلیل خطی پاسخ تغییر مکان پانل، توانایی نشان دادن رفتار واقعی آن را ندارد. همچنین مشخص است که در فشار $10/7$ مگاپاسکال پانل به شرایط ناپایداری دینامیکی خود خواهد رسید.



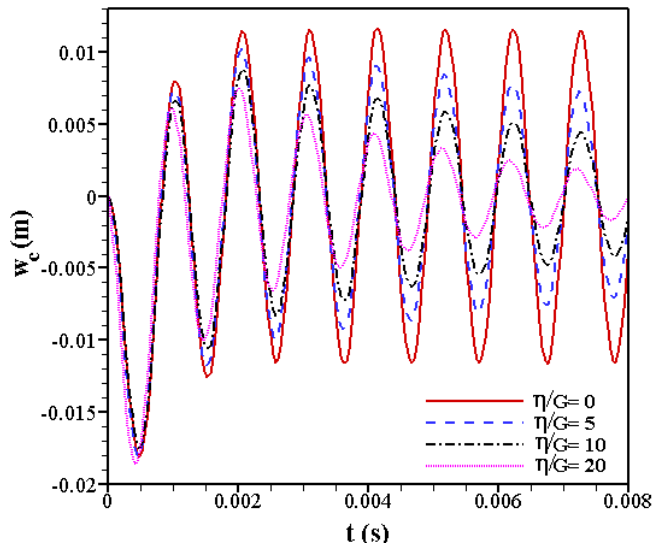
شکل ۷- تأثیر زمان بارگذاری ضربانی بر روی فشار بحرانی کمانشی، (الف) $L=b=0.3\text{ m}$ و (ب) $L=b=0.5\text{ m}$



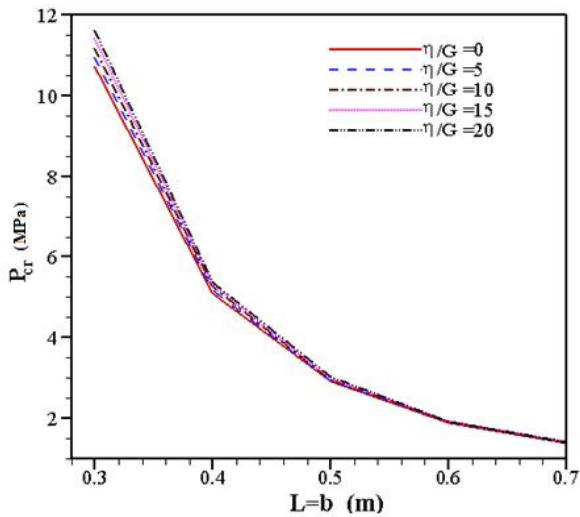
شکل ۸- تأثیر ضخامت لایه‌ها روی فشار بحرانی کمانشی پانل ساندویچی، (الف) $h_t=h_b=0.005\text{ m}$ و (ب) $h_t=h_b=0.05\text{ m}$

دسته از مواد استفاده شده است. به منظور مطالعه تأثیر خواص ویسکوالاستیک هسته روی رفتار دینامیکی پانل ساندویچی، تغییرات مؤلفه شعاعی تغییر مکان مرکز پانل برای مقادیر مختلف ضریب ویسکوالاستیک η با در نظر گرفتن روابط غیرخطی کرنش-تغییرمکان در شکل (۹) رسم شده است. از نتایج می‌توان تشخیص داد ضریب ویسکوالاستیک که به عنوان یک عامل مستهلك کننده عمل می‌کند، تأثیر قابل توجهی روی رفتار دینامیکی پانل دارد و دامنه تغییر مکان‌های آن را کاهش می‌دهد.

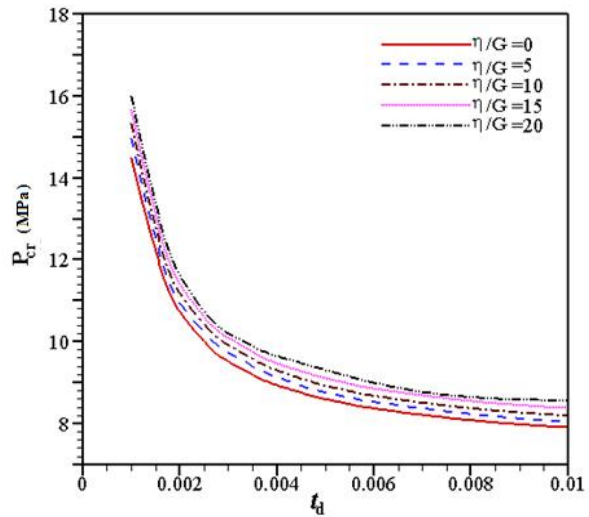
پرکاربرد در پانل‌های ساندویچی نظامی دریایی به شمار می‌روند. مطالعات آزمایشگاهی که به تازگی انجام شده است نشان داد این مواد در حالت‌های قبل و بعد از خرابی از خود رفتار ویسکوالاستیک نشان می‌دهند [۱]. آنها دریافتند هنگامی که فوم تحت کرنش‌های کوچک قرار دارد، رفتار ویسکوالاستیک خطی از خود نشان می‌دهد و سپس وارد تغییرشکل‌های دائمی با رفتار پلاستیک کامل می‌شود. در این مقاله مشابه با کار انجام شده در [۱۳]، از مدل ویسکوالاستیک خطی کلوین-ویت به عنوان یکی از روابط کاربردی برای این



شکل ۹- تأثیر ضریب ویسکوالاستیک بر روی پاسخ دینامیکی غیرخطی تغییر مکان شعاعی پوسته، $L=b=0.5 \text{ m}$, $t_d=0.002 \text{ s}$, ضربانی موضعی پانل ساندویچی



شکل ۱۱- تأثیر خاصیت ویسکوالاستیک هسته روی فشار کمانشی
ضربانی موضعی پانل ساندویچی $t_d=0.002 \text{ s}$



شکل ۱۰- تأثیر ضریب ویسکوالاستیک هسته روی فشار کمانشی
ضربانی موضعی پانل ساندویچی $L=b=0.3 \text{ m}$

ویسکوالاستیک ترسیم شده است. مشاهدات شکل (۹) نشان داده اند که تغییرات پارامتر ویسکوالاستیک در مدل ویسکوالاستیک خطی استفاده شده در این مقاله، تأثیر قابل توجهی روی تغییر مکان های به دست آمده برای پاسخ ارتعاشی لایه های پانل دارد. از آنجایی که افزایش خاصیت میرایی سیستم موجب می شود بسامد طبیعی آن کاهش یابد. بنابراین می توان انتظار داشت تغییرات پارامتر ویسکوالاستیک هسته روی

تغییر مکان شعاعی مرکز لایه های جانبی پانل در مقابل تغییرات مدت زمان اعمال بار مورد توجه قرار داده شد و با رسم منحنی های پایداری برای مقادیر مختلف ضریب ویسکوالاستیک، منحنی فشار کمانشی ضربانی در برابر مدت زمان اعمال فشار دینامیکی مطابق شکل (۱۰) به دست آمد. همچنین در شکل (۱۱) نمودار تغییرات فشار کمانشی در برابر اندازه های مختلف دهانه پانل برای مقادیر مختلف پارامتر

شده است. همچنین با استفاده از معیار بادیانسکی- راس، پایداری دینامیکی پانل ساندویچی تحت فشار خارجی مورد ارزیابی قرار گرفت. از مدل ویسکوالاستیک خطی کلوین- ویت برای مدل‌سازی رفتار هسته استفاده شد. به منظور در نظر گرفتن قابلیت تغییر‌شکل هسته، از تئوری مرتبه بالای برشی بهبودیافته استفاده شد. از روش رانگ- کوتای مرتبه چهارم در نرم‌افزار Maple برای حل معادلات غیرخطی استفاده شد. با بررسی نتایج می‌توان گفت در نظر گرفتن خاصیت ویسکوالاستیک هسته تأثیر زیادی روی پاسخ زمانی تغییر مکان پانل ساندویچی می‌گذارد و همچنین در پایداری دینامیکی آن نقش مهمی ایفا می‌کند. ضخامت لایه‌ها، ابعاد پانل و مدت زمان اعمال فشار ضربانی از پارامترهای مهم در بررسی رفتار ناپایداری دینامیکی پانل‌های ساندویچی هستند.

1. solid 186 2. implicit transient

کمانش دینامیکی پانل ساندویچی استوانه‌ای نیز تأثیرگذار باشد. نتایج ارائه شده در شکل‌های (۱۰) و (۱۱) تأیید کننده موضوع قبل است و نشان می‌دهند رفتار پایداری پانل وابسته به پارامتر ویسکوز بوده و با افزایش آن، مقاومت کمانشی سازه افزایش می‌یابد. مطابق شکل (۱۱) می‌توان گفت با افزایش ابعاد پانل، اثرگذاری پارامتر ویسکوز روند کاهشی پیدا می‌کند. به عبارت دیگر، تأثیر پارامترهایی همچون طول و عرض پانل ساندویچی، روی کمانش دینامیکی آن بیش از پارامتر ویکوالاستیک هسته است.

۴- نتیجه گیری

در این مقاله تحلیل عددی غیرخطی به منظور بررسی پاسخ دینامیکی تغییر شکل الاستیک پانل ساندویچی استوانه‌ای کامپوزیتی با هسته انعطاف‌پذیر تحت بارگذاری انفجار ارائه

واژه‌نامه

مراجع

- HooFatt, M. S., and Chen, L., "A Viscoelastic Damage Model for Hysteresis in PVC H100 Foam Under Cyclic Loading," *Journal of Cellular Plastic*, Vol. 51, No. 3, pp. 269-287, 2015.
- Keshav, V., and Patel, S. N., "Dynamic Buckling of Laminated Composite Curved Panels Subjected to In-plane Compression," *Recent Advances in Structural Engineering*, Vol. 2, pp. 735-744, 2018.
- Sankar, A., Natarajan, S., Merzouki, T., and Ganapathi, M., "Nonlinear Dynamic Thermal Buckling of Sandwich Spherical and Conical Shells with CNT Reinforced Facesheets," *International Journal of Structural Stability and Dynamics*, Vol. 17, No. 9, 2017.
- Nguyen, C. H., Butukuri, R. R., Chandrashekara, K., Birman, V., "Dynamic and Buckling of Sandwich Panels with Stepped Facings," *International Journal of Structural Stability and Dynamics*, Vol. 11, No. 4, pp. 697-716, 2011.
- Shen, J., Lu, G., Wang, Zh., and Zhao, L., "Experiments on Curved Sandwich Panels under Blast Loading," *International Journal of Impact Engineering*, Vol. 37, pp. 960-970, 2010.
- HooFatt, M. S., and Palla, L., "Analytical Modeling of Composite Sandwich Panels under Blast Loads," *Journal of Sandwich Structures and Materials*, Vol. 11, pp. 357-380, 2009.
- HooFatt, M. S., Surabhi, H., and Gao, Y., "Blast Response of Sandwich Shells with Crushable Foam Cores", *Composite Structures*, Vol. 94, pp. 3174–3185, 2012.
- HooFatt, M. S., and Chapagain, P., "Pressure Pulse Response of Composite Sandwich Panels with Plastic Core Damping," *Journal of Sandwich Structures and Materials*, Vol. 14, No. 4, pp. 392-429. 2012.
- HooFatt, M. S., Gao, Y., and Sirivolu, D., "Foam-Core Composite Sandwich Shells under Blast," *Journal of Sandwich Structures and Materials*, Vol. 15, No. 3, pp. 261–291, 2013.
- Gao, Y., and HooFatt, M. S., "Local Facesheet Pulse Buckling in a Curved, Composite Sandwich Panel," *Composite Structures*, Vol. 104, pp. 249-60, 2013.
- Sirivolu, D., HooFatt, M.S., "Dynamic stability of double-curvature composite shells under external

- blast," *International Journal of Non-Linear Mechanics*, Vol. 77, pp. 281-90, 2015.
12. Birman, V., and Simitses, G. J., "Dynamic Stability of Long Cylindrical Sandwich Shells and Panels Subject to Periodic-in-time Lateral Pressure," *Journal of Composite Materials*, Vol. 38, no. 7, pp. 591-607, 2004.
 13. Balkan, D., Acar, O., Türkmen Z., and Mecitoğlu, H. S., "Transient Response of a Laminated Sandwich Plate with Viscoelastic Core Subjected to Air Blast: Theory and Experiment," *Structures under Shock and Impact XI*, Vol. 113, 2010.
 14. Mokhtari, M., Permoor, M. R., and Haddadpour, H., "Dynamic Analysis of Isotropic Sandwich Cylindrical Shell with Fractional Viscoelastic Core Using Rayleigh-Ritz Method," *Composite Structures*, Vol. 186, pp. 165-174, 2018.
 15. Mohammadi, F., and Sedaghati, R., "Linear and Nonlinear Vibration Analysis of Sandwich Cylindrical Shell with Constrained Viscoelastic Core Layer," *International Journal of Mechanical Sciences*, Vol. 54, pp. 156-17, 2012.
 16. Liang, Y., Spuskanyuk, A. V., Flores, S. E., Hayhurst, D. R., Hutchinson, J. W., Mc Meeking, R. M., and Evans, A. G., "The Response of Metallic Sandwich Panels to Water Blast," *Journal of Applied Mechanics*, Vol. 74, No. 1, pp. 81-99, 2007.
 17. Nemat-Nasser, S., Kang, W. J., and McGee, J. D., Guo, W. G., Issacs, J. B., "Experimental Investigation of Energy Absorption Characteristics of Components of Sandwich Structures," *International Journal of Impact Engineering*, Vol. 34, No. 6, pp. 1119-1146, 2007.
 18. Kardomateas, G.A., Rodcheuy, N., and Frostig, F., "Transient Blast Response of Plates by Dynamic Elasticity," *AIAA Journal*, Vol. 53, No. 6, 2015.
 19. Li, R., Kardomateas, G.A., "Nonlinear high order core theory for sandwich plates with orthotropic phases," *AIAA Journal*, Vol. 46, No. 11, 2008.
 20. Li, R., and Kardomateas, G. A., and Simitses, G. J., "Nonlinear Response of a Shallow Sandwich Shell with Compressible Core to Blast Loading," *Journal of Applied Mechanics*, Vol. 75, 2008.
 21. Budiansky, B., and Hutchinson, J. W., "Dynamic Buckling Estimates," *AIAA Journal*, Vol. 4, no. 3, pp. 525-30, 1966.
 22. Amabili, M., *Nonlinear Vibration and Stability of Shells and Plates*. Cambridge University press, UK, 2008.
 23. Shaw, M. T., and MacNight, W. J., *Introduction to Polymer Viscoelasticity*, John Wiley & Sons, Inc.: Hoboken, New Jersey, 2005.
 24. Lindberg, H. E., Florence, A. L., *Dynamic Pulse Buckling*, Dordrecht: Martinus Nijhoff Publishers, 1987.

پیوست

$$\begin{aligned}
 L^{11} &= \sum_{n=0}^{\infty} \sum_{m=0}^{\infty} \left(-\frac{\delta B_{mn}^c(t)}{h_c} + \frac{\delta B_{mn}^t(t) + B_{mn}^b(t)}{h_c} \right. \\
 &\quad \left. - A_{mn}^t(t)m + B^t(t) - \frac{B_{mn}^t(t)m^\gamma h_t}{a_c + \frac{h_c}{\gamma}} \right) \\
 L^{12} &= \sum_{n=0}^{\infty} \sum_{m=0}^{\infty} \left(\frac{h_c}{a_c + \frac{h_c}{\gamma}} \right) \\
 L^{13} &= \sum_{n=0}^{\infty} \sum_{m=0}^{\infty} \left(-\frac{C_{mn}^t(t)n\pi}{L} - \frac{B_{mn}^t(t)n^\gamma \pi^\gamma h_t}{\gamma L^\gamma} \right) \\
 L^{14} &= \int_{\frac{h_c}{\gamma}}^{\frac{h_c+h_t}{\gamma}} \sum_{n=0}^{\infty} \sum_{m=0}^{\infty} \left(\frac{(z - \frac{h_c}{\gamma} - \frac{h_t}{\gamma})(-B_{mn}^t(t)m^\gamma + A_{mn}^t(t)m)}{(a_c + z)^\gamma} dz \right. \\
 L^{15} &= \int_{\frac{h_c}{\gamma}}^{\frac{h_c+h_t}{\gamma}} \sum_{n=0}^{\infty} \sum_{m=0}^{\infty} \left(-\frac{(z - \frac{h_c}{\gamma} - \frac{h_t}{\gamma})(-B_{mn}^t(t)m^\gamma + A_{mn}^t(t)m)}{(a_c + z)^\gamma} - \frac{A_{mn}^t(t)m + B_{mn}^t(t)}{a_c + z} \right) dz \\
 L^{16} &= \int_{\frac{h_c}{\gamma}}^{\frac{h_c+h_t}{\gamma}} \sum_{n=0}^{\infty} \sum_{m=0}^{\infty} \left(-\frac{C_{mn}^t(t)n\pi}{L} + \frac{(z - \frac{h_c}{\gamma} - \frac{h_t}{\gamma})B_{mn}^t(t)n^\gamma \pi^\gamma}{L^\gamma} \right) dz
 \end{aligned}$$

$$\begin{aligned}
L\backslash v &= \int_{\frac{h_c}{r}}^{\frac{h_c+h_t}{r}} \sum_{n=0}^{\infty} \sum_{m=0}^{\infty} (a_c + z) \frac{\partial^r B_{mn}^t(t)}{\partial t^r} dz \\
L\backslash \backslash &= -r \sum_{n=0}^{\infty} \sum_{m=0}^{\infty} \left(a_c + \frac{h_c}{r} \right) \left(\frac{B_{mn}^t(t)m}{r(a_c + \frac{h_c}{r})} + \frac{A_{mn}^t(t) - A_{mn}^b(t)}{rh_c} + \frac{h_t B_{mn}^t(t)m}{r(a_c + \frac{h_c}{r})h_c} - \frac{h_t B_{mn}^t(t)m}{r(a_c + \frac{h_c}{r})} \right. \\
&\quad \left. + \frac{h_t \left(-\frac{s B_{mn}^c(t)}{h_c} + \frac{\delta B_{mn}^t(t) + B_{mn}^b(t)}{h_c} \right)}{r(a_c + \frac{h_c}{r})} - \frac{A_{mn}^t(t) + \frac{B_{mn}^t(t)m h_t}{a_c + \frac{h_c}{r}}}{r(a_c + \frac{h_c}{r})} \right) \\
L\backslash \backslash &= \int_{\frac{h_c}{r}}^{\frac{h_c+h_t}{r}} \sum_{n=0}^{\infty} \sum_{m=0}^{\infty} \left(\frac{-(z - \frac{h_c}{r} - \frac{h_t}{r})(-B_{mn}^t(t)m^r + A_{mn}^t(t)m^r)}{(a_c + z)^r} - \frac{A_{mn}^t(t)m^r + B_{mn}^t(t)m}{a_c + z} \right) dz \\
L\backslash \backslash &= \int_{\frac{h_c}{r}}^{\frac{h_c+h_t}{r}} \sum_{n=0}^{\infty} \sum_{m=0}^{\infty} \left(-\frac{C_{mn}^t(t)m n \pi}{L} + \frac{(z - \frac{h_c}{r} - \frac{h_t}{r})B_{mn}^t(t)m n^r \pi^r}{L^r} \right) dz \\
L\backslash \backslash &= \int_{\frac{h_c}{r}}^{\frac{h_c+h_t}{r}} r \sum_{n=0}^{\infty} \sum_{m=0}^{\infty} (a_c + z) \left(\frac{-\frac{C_{mn}^t(t)m n \pi}{L} + \frac{(z - \frac{h_c}{r} - \frac{h_t}{r})B_{mn}^t(t)m n^r \pi^r}{L^r}}{r(a_c + z)} - \frac{A_{mn}^t(t)n^r \pi^r}{r L^r} \right. \\
&\quad \left. - \frac{(z - \frac{h_c}{r} - \frac{h_t}{r})(\frac{B_{mn}^t(t)m n^r \pi^r}{L^r} + \frac{A_{mn}^t(t)n^r \pi^r}{L^r})}{r(a_c + z)} \right) dz \\
L\backslash \Delta &= \int_{\frac{h_c}{r}}^{\frac{h_c+h_t}{r}} \sum_{n=0}^{\infty} \sum_{m=0}^{\infty} \left(\frac{r(z - \frac{h_c}{r} - \frac{h_t}{r})(B_{mn}^t(t)m - A_{mn}^t(t))}{(a_c + z)^r} \right) dz \\
L\backslash \Delta &= \int_{\frac{h_c}{r}}^{\frac{h_c+h_t}{r}} \sum_{n=0}^{\infty} \sum_{m=0}^{\infty} (a_c + z) \left(\frac{\partial^r A_{mn}^t(t)}{\partial t^r} - \frac{(z - \frac{h_c}{r} - \frac{h_t}{r})(\frac{\partial^r B_{mn}^t(t)}{\partial t^r}m - \frac{\partial^r A_{mn}^t(t)}{\partial t^r})}{(a_c + z)} \right) dz \\
L\backslash \Delta &= -r \sum_{n=0}^{\infty} \sum_{m=0}^{\infty} \left(a_c + \frac{h_c}{r} \right) \left(-\frac{B_{mn}^t(t)n \pi}{L} + \frac{C_{mn}^t(t) + C_{mn}^b(t)}{h_c} + \frac{h_t B_{mn}^t(t)n \pi}{h_c L} \right. \\
&\quad \left. + \frac{h_t}{r} \left(-\frac{s B_{mn}^c(t)n \pi}{h_c L} + \frac{\delta B_{mn}^t(t)n \pi + B_{mn}^b(t)n \pi}{h_c L} \right) \right) \\
L\backslash \Delta &= \int_{\frac{h_c}{r}}^{\frac{h_c+h_t}{r}} r \sum_{n=0}^{\infty} \sum_{m=0}^{\infty} \left(\frac{-C_{mn}^t(t)m^r + \frac{(z - \frac{h_c}{r} - \frac{h_t}{r})B_{mn}^t(t)m^r n \pi}{L}}{a_c + z} \right. \\
&\quad \left. - \frac{A_{mn}^t(t)m n \pi}{r L} - \frac{(z - \frac{h_c}{r} - \frac{h_t}{r})(B_{mn}^t(t)m^r n \pi + A_{mn}^t(t)m n \pi)}{r(a_c + z)} \right) dz
\end{aligned}$$

$$+\frac{1}{\gamma} \left(\frac{\gamma z^\gamma}{h_c^\gamma} + \frac{\lambda z^\gamma}{h_c^\gamma} \right) \left(-\frac{B_{mn}^t(t)n^\gamma\pi^\gamma}{L^\gamma} - \frac{B_{mn}^b(t)n^\gamma\pi^\gamma}{L^\gamma} \right) + \frac{1}{\gamma} \left(\frac{z}{h_c} + \frac{\gamma z^\gamma}{h_c^\gamma} \right) \left(-\frac{B_{mn}^t(t)n^\gamma\pi^\gamma}{L^\gamma} + \frac{B_{mn}^b(t)n^\gamma\pi^\gamma}{L^\gamma} \right))) + \frac{1}{\gamma h_c} (zh_t \cdot$$

$$\left(-\frac{\frac{\gamma z}{h_c} - \frac{\gamma\gamma z^\gamma}{h_c^\gamma}}{L^\gamma} B_{mn}^c(t)n^\gamma\pi^\gamma + \frac{1}{\gamma} \left(\frac{\gamma z}{h_c} + \frac{\gamma\gamma z^\gamma}{h_c^\gamma} \right) \left(-\frac{(B_{mn}^t(t) + B_{mn}^b(t))n^\gamma\pi^\gamma}{L^\gamma} \right) + \frac{1}{\gamma} \left(\frac{1}{h_c} + \frac{\gamma z^\gamma}{h_c^\gamma} \right) \left(-\frac{B_{mn}^t(t)n^\gamma\pi^\gamma}{L^\gamma} + \frac{B_{mn}^b(t)n^\gamma\pi^\gamma}{L^\gamma} \right) \right) dz$$

$$L^{*v} = \int_{-\frac{h_c}{\gamma}}^{\frac{h_c}{\gamma}} \sum_{n=0}^{\infty} \sum_{m=0}^{\infty} \left(\gamma \left(\frac{1}{\gamma(a_c + z)} \left(-\left(\frac{\gamma z^\gamma}{h_c^\gamma} - \frac{\lambda z^\gamma}{h_c^\gamma} \right) B_{mn}^c(t)m^\gamma + \frac{\gamma z^\gamma}{h_c^\gamma} + \frac{\lambda z^\gamma}{h_c^\gamma} \right) \cdot (-B_{mn}^t(t)m^\gamma - B_{mn}^b(t)m^\gamma) \right) + \frac{1}{\gamma h_c} \left(\frac{z}{h_c} + \frac{\gamma z^\gamma}{h_c^\gamma} \right) \cdot \right.$$

$$\left. (-B_{mn}^t(t)m^\gamma + B_{mn}^b(t)m^\gamma) + \frac{(-mA_{mn}^t(t) + mA_{mn}^b(t))}{\gamma h_c} + \frac{1}{\gamma h_c(a_c + z)} (h_t \left(-\left(\frac{\gamma z^\gamma}{h_c^\gamma} - \frac{\lambda z^\gamma}{h_c^\gamma} \right) B_{mn}^c(t)m^\gamma \right. \right. \\ \left. \left. + \frac{1}{\gamma} \left(\frac{\gamma z^\gamma}{h_c^\gamma} + \frac{\lambda z^\gamma}{h_c^\gamma} \right) \right) \right)$$

$$\left(-B_{mn}^t(t)m^\gamma - B_{mn}^b(t)m^\gamma \right) + \frac{1}{\gamma} \left(\frac{z}{h_c} + \frac{\gamma z^\gamma}{h_c^\gamma} \right) \cdot \left(-B_{mn}^t(t)m^\gamma + B_{mn}^b(t)m^\gamma \right) - \frac{1}{\gamma h_c(a_c + z)^\gamma}$$

$$(zh_t \cdot \left(-\left(\frac{\gamma z^\gamma}{h_c^\gamma} - \frac{\lambda z^\gamma}{h_c^\gamma} \right) B_{mn}^c(t)m^\gamma \right) + \frac{1}{\gamma} \left(\frac{\gamma z^\gamma}{h_c^\gamma} + \frac{\lambda z^\gamma}{h_c^\gamma} \right) \cdot \left(-B_{mn}^t(t)m^\gamma - B_{mn}^b(t)m^\gamma \right) + \frac{1}{\gamma} \left(\frac{z}{h_c} + \frac{\gamma z^\gamma}{h_c^\gamma} \right) \cdot \left(-B_{mn}^t(t)m^\gamma + B_{mn}^b(t)m^\gamma \right))$$

$$+ \frac{1}{\gamma h_c(a_c + z)} (zh_t \left(-\left(\frac{\gamma z^\gamma}{h_c^\gamma} - \frac{\gamma\gamma z^\gamma}{h_c^\gamma} \right) \right) \\$$

$$B_{mn}^c(t)m^\gamma + \frac{1}{\gamma} \left(\frac{\gamma z}{h_c^\gamma} + \frac{\gamma\gamma z^\gamma}{h_c^\gamma} \right) \cdot \left(-B_{mn}^t(t)m^\gamma - B_{mn}^b(t)m^\gamma \right) + \frac{1}{\gamma} \left(\frac{1}{h_c} + \frac{\gamma z^\gamma}{h_c^\gamma} \right) \cdot \left(-B_{mn}^t(t)m^\gamma + B_{mn}^b(t)m^\gamma \right)))$$

$$- \frac{1}{\gamma h_c(a_c + z)} \left(-\frac{m}{\gamma} A_{mn}^b(t) \right)$$

$$- \frac{m}{\gamma} A_{mn}^t(t) + \frac{z(-mA_{mn}^t(t) + mA_{mn}^b(t))}{h_c} + \frac{1}{h_c(a_c + z)} (zh_t \left(-\left(\frac{\gamma z^\gamma}{h_c^\gamma} - \frac{\lambda z^\gamma}{h_c^\gamma} \right) B_{mn}^c(t)m^\gamma + \frac{1}{\gamma} \left(\frac{\gamma z^\gamma}{h_c^\gamma} + \frac{\lambda z^\gamma}{h_c^\gamma} \right) \right)$$

$$\left(-B_{mn}^t(t)m^\gamma - B_{mn}^b(t)m^\gamma \right) + \frac{1}{\gamma} \left(\frac{z}{h_c} + \frac{\gamma z^\gamma}{h_c^\gamma} \right) \cdot \left(-B_{mn}^t(t)m^\gamma + B_{mn}^b(t)m^\gamma \right))) dz$$

$$L^{*\Lambda} = \int_{-\frac{h_c}{\gamma}}^{\frac{h_c}{\gamma}} \sum_{n=0}^{\infty} \sum_{m=0}^{\infty} \left(\frac{h_c^\delta}{\gamma^\circ} \left(-a_c \left(\frac{\gamma}{h_c^\gamma} \left(\frac{\partial^\gamma B_{mn}^t(t)}{\partial t^\gamma} + \frac{\partial^\gamma B_{mn}^b(t)}{\partial t^\gamma} \right) - \frac{\lambda}{h_c^\gamma} \frac{\partial^\gamma B_{mn}^c(t)}{\partial t^\gamma} \right) \right. \right. \\ \left. \left. - \frac{\gamma}{h_c^\gamma} \left(\frac{\partial^\gamma B_{mn}^t(t)}{\partial t^\gamma} - \frac{\partial^\gamma B_{mn}^b(t)}{\partial t^\gamma} \right) - a_c h_c \frac{\partial^\gamma B_{mn}^c(t)}{\partial t^\gamma} \right) \right)$$

$$+ \frac{h_c^\gamma}{\gamma^\circ} \left(-a_c \left(\frac{\gamma}{h_c^\gamma} \left(\frac{\partial^\gamma B_{mn}^t(t)}{\partial t^\gamma} + \frac{\partial^\gamma B_{mn}^b(t)}{\partial t^\gamma} \right) - \frac{\gamma}{h_c^\gamma} \frac{\partial^\gamma B_{mn}^c(t)}{\partial t^\gamma} \right) - \frac{\gamma}{h_c^\gamma} \left(\frac{\partial^\gamma B_{mn}^t(t)}{\partial t^\gamma} - \frac{\partial^\gamma B_{mn}^b(t)}{\partial t^\gamma} \right) \right) dz$$

$$L_{\Delta 1} = \gamma \sum_{n=0}^{\infty} \sum_{m=0}^{\infty} \left(a_c - \frac{h_c}{\gamma} \right) \left(\frac{B_{mn}^b(t)n\pi}{L} + \frac{C_{mn}^t(t) + C_{mn}^b(t)}{h_c} + \frac{h_t B_{mn}^b(t)n\pi}{h_c L} - \frac{h_t}{\gamma} \left(\frac{s B_{mn}^c(t)n\pi}{h_c L} - \frac{\frac{\delta B_{mn}^t(t)n\pi}{L} + \frac{B_{mn}^b(t)n\pi}{L}}{h_c} \right) \right)$$

$$L_{\Delta 2} = \int_{-\frac{h_c}{\gamma}}^{\frac{h_c}{\gamma}} \gamma \sum_{n=0}^{\infty} \sum_{m=0}^{\infty} \left(\frac{-C_{mn}^b(t)m^\gamma + \frac{(z + \frac{h_c}{\gamma} + \frac{h_t}{\gamma}) B_{mn}^b(t)m^\gamma n\pi}{L}}{a_c + z} \right)$$

$$\begin{aligned}
& - \frac{A_{mn}^b(t)mn\pi}{\gamma L} - \frac{(z + \frac{h_c}{\gamma} + \frac{h_t}{\gamma})(-B_{mn}^b(t)m\gamma n\pi + A_{mn}^b(t)mn\pi)}{\gamma(a_c + z)} dz \\
L\delta^r &= \int_{-\frac{h_c}{\gamma} - h_b}^{-\frac{h_c}{\gamma}} \sum_{n=\infty}^{\infty} \sum_{m=\infty}^{\infty} (a_c + z) \left(-\frac{(z + \frac{h_c}{\gamma} + \frac{h_t}{\gamma})(-B_{mn}^b(t)m\gamma n\pi + A_{mn}^b(t)mn\pi)}{L(a_c + z)^\gamma} - \frac{A_{mn}^b(t)mn\pi}{L(a_c + z)} + \frac{B_{mn}^b(t)n\pi}{L(a_c + z)} \right) dz \\
L\delta^f &= \int_{-\frac{h_c}{\gamma} - h_b}^{-\frac{h_c}{\gamma}} \sum_{n=\infty}^{\infty} \sum_{m=\infty}^{\infty} \left(-\frac{C_{mn}^b(t)n\gamma\pi^\gamma}{L^\gamma} + \frac{(z + \frac{h_c}{\gamma} + \frac{h_t}{\gamma})B_{mn}^b(t)n\gamma\pi^\gamma}{L^\gamma} \right) dz \\
L\delta^d &= \int_{-\frac{h_c}{\gamma} - h_b}^{-\frac{h_c}{\gamma}} \sum_{n=\infty}^{\infty} \sum_{m=\infty}^{\infty} (a_c + z) \left(\frac{\partial^\gamma C_{mn}^b(t)}{\partial t^\gamma} - \frac{(z + \frac{h_c}{\gamma} + \frac{h_t}{\gamma})\frac{\partial^\gamma B_{mn}^b(t)}{\partial t^\gamma}n\pi}{L} \right) dz \\
L\delta^1 &= \gamma \sum_{n=\infty}^{\infty} \sum_{m=\infty}^{\infty} \left(a_c - \frac{h_c}{\gamma} \right) \left(\frac{B_{mn}^b(t)m}{\gamma(a_c + \frac{h_c}{\gamma})} + \frac{A_{mn}^t(t) - A_{mn}^b(t)}{\gamma h_c} + \frac{h_t B_{mn}^b(t)m}{\gamma(a_c - \frac{h_c}{\gamma})h_c} + \frac{h_t B_{mn}^b(t)m}{\gamma(a_c - \frac{h_c}{\gamma})^\gamma} - \frac{A_{mn}^b(t)m\gamma - B_{mn}^b(t)m}{\gamma(a_c - \frac{h_c}{\gamma})} \right. \\
&\quad \left. - \frac{h_t(\frac{\delta B_{mn}^c(t)}{h_c} - \frac{\delta B_{mn}^t(t) + B_{mn}^b(t)}{h_c})}{\gamma(a_c - \frac{h_c}{\gamma})} \right) \\
L\delta^2 &= \int_{-\frac{h_c}{\gamma} - h_b}^{-\frac{h_c}{\gamma}} \sum_{n=\infty}^{\infty} \sum_{m=\infty}^{\infty} \left(\frac{-(z + \frac{h_c}{\gamma} + \frac{h_t}{\gamma})(-B_{mn}^b(t)m\gamma + A_{mn}^b(t)m\gamma)}{(a_c + z)^\gamma} - \frac{A_{mn}^b(t)m\gamma - B_{mn}^b(t)m}{a_c + z} \right) dz \\
L\delta^3 &= \int_{-\frac{h_c}{\gamma} - h_b}^{-\frac{h_c}{\gamma}} \sum_{n=\infty}^{\infty} \sum_{m=\infty}^{\infty} \left(-\frac{C_{mn}^b(t)mn\pi}{L} + \frac{(z + \frac{h_c}{\gamma} + \frac{h_t}{\gamma})B_{mn}^b(t)mn\gamma\pi^\gamma}{L^\gamma} \right) dz \\
L\delta^4 &= \int_{-\frac{h_c}{\gamma} - h_b}^{-\frac{h_c}{\gamma}} \sum_{n=\infty}^{\infty} \sum_{m=\infty}^{\infty} \left(a_c + z \right) \frac{A_{mn}^b(t)n\gamma\pi^\gamma}{\gamma L^\gamma} + \frac{-\frac{C_{mn}^b(t)mn\pi}{L}}{\gamma(a_c + z)} + \frac{(z + \frac{h_c}{\gamma} + \frac{h_t}{\gamma})B_{mn}^b(t)mn\gamma\pi^\gamma}{L^\gamma} \\
&\quad - \frac{(z + \frac{h_c}{\gamma} + \frac{h_t}{\gamma})(-\frac{B_{mn}^b(t)mn\gamma\pi^\gamma}{L^\gamma} + \frac{A_{mn}^b(t)n\gamma\pi^\gamma}{L^\gamma})}{\gamma(a_c + z)} dz \\
L\delta^5 &= \int_{-\frac{h_c}{\gamma} - h_b}^{-\frac{h_c}{\gamma}} \sum_{n=\infty}^{\infty} \sum_{m=\infty}^{\infty} \left(\frac{\gamma(z + \frac{h_c}{\gamma} + \frac{h_t}{\gamma})(B_{mn}^b(t)m - A_{mn}^b(t))}{(a_c + z)^\gamma} \right) dz \\
L\delta^6 &= \int_{-\frac{h_c}{\gamma} - h_b}^{-\frac{h_c}{\gamma}} \sum_{n=\infty}^{\infty} \sum_{m=\infty}^{\infty} (a_c + z) \left(\frac{\partial^\gamma A_{mn}^b(t)}{\partial t^\gamma} - \frac{(z + \frac{h_c}{\gamma} + \frac{h_t}{\gamma})(\frac{\partial^\gamma B_{mn}^b(t)}{\partial t^\gamma}m - \frac{\partial^\gamma A_{mn}^b(t)}{\partial t^\gamma})}{(a_c + z)} \right) dz \\
L\gamma^1 &= \sum_{n=\infty}^{\infty} \sum_{m=\infty}^{\infty} \left(a_c - \frac{h_c}{\gamma} \right) \left(\frac{\delta B_{mn}^c(t)}{h_c} - \frac{\delta B_{mn}^t(t) + B_{mn}^b(t)}{h_c} \right)
\end{aligned}$$

$$\begin{aligned}
L\forall\gamma &= \sum_{n=0}^{\infty} \sum_{m=0}^{\infty} \left(-A_{mn}^b(t)m + B^b(t) - \frac{B_{mn}^b(t)m^\gamma h_t}{a_c - \frac{h_c}{\gamma}} \right) \\
L\forall\tau &= \sum_{n=0}^{\infty} \sum_{m=0}^{\infty} \left(-\frac{C_{mn}^b(t)n\pi}{L} + \frac{B_{mn}^b(t)n^\gamma\pi^\gamma h_t}{\gamma L^\gamma} \right) \\
L\forall\varphi &= \int_{-\frac{h_c - h_b}{\gamma}}^{\frac{h_c}{\gamma}} \left(\gamma \sum_{n=0}^{\infty} \sum_{m=0}^{\infty} \left(\frac{(z + \frac{h_c}{\gamma} + \frac{h_t}{\gamma})(-B_{mn}^b(t)m^\gamma + A_{mn}^b(t)m)}{(a_c + z)^\gamma} \right) dz \right) \\
L\forall\delta &= \int_{-\frac{h_c - h_b}{\gamma}}^{\frac{h_c}{\gamma}} \sum_{n=0}^{\infty} \sum_{m=0}^{\infty} (a_c + z) \frac{\partial^\gamma B_{mn}^b(t)}{\partial t^\gamma} dz \\
L\forall\theta &= \int_{-\frac{h_c - h_b}{\gamma}}^{\frac{h_c}{\gamma}} \sum_{n=0}^{\infty} \sum_{m=0}^{\infty} \left(-\frac{(z + \frac{h_c}{\gamma} + \frac{h_t}{\gamma})(-B_{mn}^b(t)m^\gamma + A_{mn}^b(t)m)}{(a_c + z)^\gamma} - \frac{A_{mn}^b(t)m + B_{mn}^b(t)}{a_c + z} \right) dz \\
L\forall\nu &= \sum_{n=0}^{\infty} \sum_{m=0}^{\infty} \left(-\frac{C_{mn}^b(t)n\pi}{L} + \frac{(z + \frac{h_c}{\gamma} + \frac{h_t}{\gamma})B_{mn}^b(t)n^\gamma\pi^\gamma}{L^\gamma} \right) dz
\end{aligned}$$